

建設省土木研究所 正員 中神陽一

1. まえがき 先来 橋梁の耐風性は専ら、吊橋・斜張橋といったケーブルを主体とする構造を対象として検討されてきたが、箱桁橋の長スパン化に伴い、その耐風性が問題とされるケースが増えている。そこで、BOX Xの箱桁橋を対象として風洞実験を行い、重量・減衰・桁高比をパラメータとして採用し、耐風性の良好な条件について検討した。

2. 対象断面 箱桁橋は、一般にウェブが水平面に対し直角であり、断面の幾何的特性は、全幅・桁幅・桁高の3パラメータによって示される。全幅・桁幅・桁高をそれぞれ B , B' , H と表し、実際の箱桁橋における、桁幅比 B'/B および桁高比 H/B について調査した。図-1には B'/B 、図-2には H/B の調査結果をそれぞれ示した。なお、図-2中の $1/6$ Point, $1/2$ Pointとは桁端からの距離が、それをスパン長の $1/6$, $1/2$ である点における断面形状を指す。図-1によるとスパン長が増加するに伴い、 B'/B の値は、 0.4 ～ 0.5 の間に納まっているようである。また図-2を見ると、 H/B は箱桁橋に変断面構造が多く採用されていることから 0.2 ～ 0.6 程度にバラついていることがわかる。そこで、本実験では対象として $B'/B = 0.45$ で、 $H/B = 0.2, 0.3, 0.4, 0.5, 0.6$ である断面を採用することとした。使用した模型の断面を図-3に示した。中央分離帯は無いが、横断勾配を 2% としてある。

3. 実験方法および実験条件 箱桁橋では、ねじれの固有振動数が、たわみの固有振動数に比べかなり高いため、ここではたわみ振動のみに着目することとした。実験は、強制加振法による非定常空気力の測定である。加振振幅は、片振幅で全幅の $1/100$ とし、周波数は、無次元風速で約 $1/s$ まで測定した。また迎角は全ての断面に対して 0° とした。

4. 耐風安定性の評価法 振動速度と同位相のたわみ揚力係数 C_{LH}^2 は式(1)のように示される。

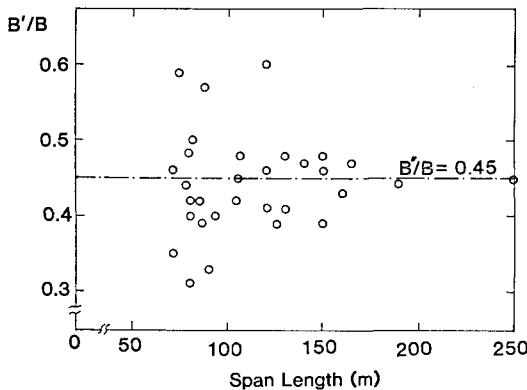
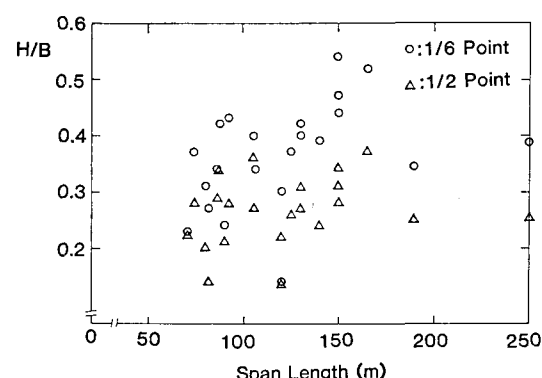
$$C_{LH}^2 = \frac{m\delta}{\frac{1}{2}\rho U^2 B} - \frac{(c\omega)^2}{\pi} (\delta_0 - \delta) \quad \dots \dots (1)$$

ここで、 m :質量, $c\omega$:固有円振動数, δ_0 :構造減衰, ρ :空気密度, U :風速, B :代表長さ, δ :減衰
式(1)を式(2)のように変形する。

$$\frac{m\delta}{\frac{1}{2}\rho B^2} = \frac{m\delta_0}{\frac{1}{2}\rho B^2} - \frac{1}{Z} \left(\frac{U}{c\omega B} \right)^2 C_{LH}^2 \frac{\pi}{\delta_0 / B} \quad \dots \dots (2)$$

オ1項 オ2項 オ3項

耐風安定性の良否は、オ1項の δ の正負によって判断される。オ2項は、各橋梁に対して一意的に定まるパラメータであるから、実験によってオ3項を求めればよい。

図-1 スパン長と B'/B 図-2 スパン長と H/B

5. 実験結果 たわみ揚力係数 C'_{L1} を求め、加振振幅と無次元風速が U_r 、式(2)におけるオフ頂を求め、図-4に示した。なお、オフ頂を一括して C'_{L1} とした。図-4によると、 H/B の増加に伴い高風速域では、 C'_{L1} が正の方へ移行するようになり、 $H/B = 0.5$ 、 0.6 では、 $U_r = 5$ 付近から急激に立ち上がる。しかし $H/B = 0.3$ 、 0.4 といった薄い断面では、 C'_{L1} は低風速で渦動振の発現と思われる風速域を除き常に負である。

6. 考察 (5)で述べたように、耐風安定性の良悪はオフ頂の正負によって判定される。従って式(2)において明らかのように、オフ頂とオフ頂を比較すればよい。実際の橋梁に於けるオフ頂 $m\delta_0/B^2$ の値の例を表-1に示した。これによると $100m$ を超えるような長スパンの箱形橋に於ける $m\delta_0/B^2$ 値はたかだか 1.0 である。図-4中の縦軸に、 $m\delta_0/B^2$ をとり、 C'_{L1} の曲線がこの値をオーバーする領域では、片振幅が全幅の $1/100$ 以上 の振幅で、鉛直たわみ振動が発現することになる。図-5に図-4に示した実験結果を模式的に示した。 H/B が 0.3 より 0.4 の領域では、ギヤロッピングが発生するか否か微妙であるため、安全側をとり $H/B = 0.4$ の曲線をもってこの領域をカバーするものとした。同様に H/B が 0.4 より 0.5 の領域も $H/B = 0.5$ の曲線によってカバーした。図-5によると、 $H/B < 0.3$ の場合はギヤロッピングは発現しない。 $0.4 > H/B > 0.3$ の場合は $m\delta_0/B^2$ が 2 以下の場合に限り $U_r = 6$ がギヤロッピングが発振する。 $H/B > 0.4$ では $m\delta_0/B^2$ によらず $U_r = 5$ がギヤロッピングが発振することになる。

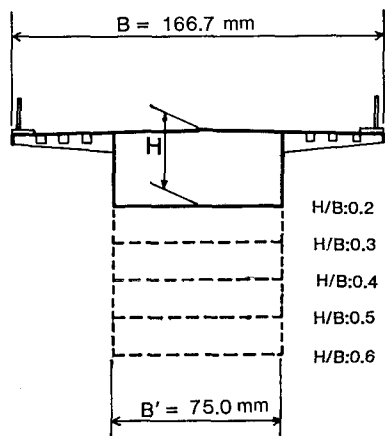


図-3 模型断面

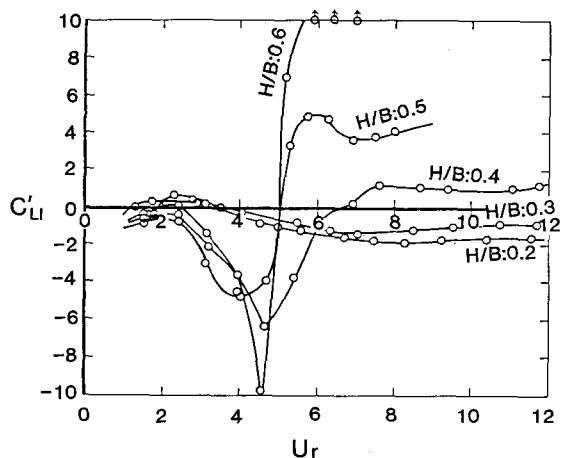


図-4 実験結果

表-1 実橋の $m\delta_0/B^2$ 値

橋梁	スパン長(m)	$m\delta_0/B^2$
A	165	0.80
B	189	0.66
C	105	1.01
D	210	0.56

但し $\delta_0 = 0.02$, $\rho = 0.125 \text{ kg.s}^2/\text{m}^4$

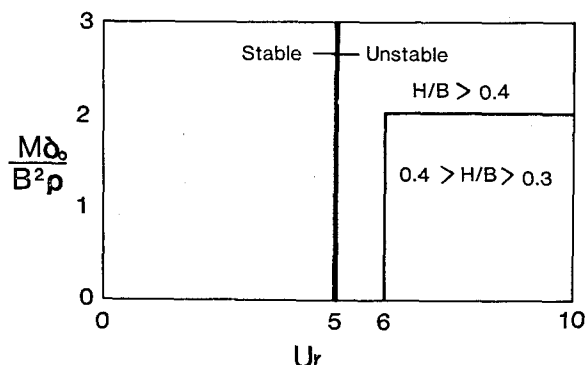


図-5 模式図